

## ОБ ОДНОЙ ЗАДАЧЕ ПРЕСЛЕДОВАНИЯ–УБЕГАНИЯ С ОГРАНИЧЕНИЕМ НА РАССТОЯНИЕ МЕЖДУ ОБЪЕКТАМИ

**Ключевые слова:** задача преследования–убегания, оптимальные траектории, конфликтные ситуации, противоборствующие стороны, беспилотные летательные аппараты.

Рассматриваемая задача преследования–убегания с конкретными терминальными множествами является одной из реализаций в теории дифференциальных игр при рассмотрении конфликтных ситуаций противоборствующих сторон. Теоретические постановки и решения ряда задач в этой области рассматривали Р. Айзекс, Л.С. Понтрягин, Н.Н. Красовский, Б.Н. Пшеничный, А.А. Чикрий и др. [1–6], что способствовало решению данной задачи.

В работе [7] описана задача преследования–убегания в заданной предметной области с учетом ее физической и математической постановки при некоторых ограничениях на расстояние между объектами в начальный момент времени. Однако предложенный метод не позволяет получить решение задачи преследования–убегания в случае малого значения параметра  $a$  — удаления преследуемого объекта от зоны действия преследователя в начальный момент времени.

Рассмотрим задачу выбора траектории ухода от преследования при малых значениях параметра  $a$  с последующим превращением преследуемого в преследующего.

Несмотря на сравнительную простоту (и в свое время директивно заданного в качестве основного) тактического маневра во взаимодействиях противоборствующих летательных аппаратов (объекты  $E$  и  $P$  [7]) робототехнического типа [8], математическое решение задачи отыскания соответствующих оптимальных траекторий (в автономном случае) представляет собой достаточно сложную задачу. Ее специфика заключается в неоднозначности искомых траекторий, в том числе из-за немонотонности поведения двух целевых параметров для объекта  $P$ , и поэтому освещение рассматриваемого вопроса приобретает смысл поиска общего подхода к получению точных решений в зависимости от конкретных требований, а сама статья — вид развернутого аналитического исследования.

Точка  $E$ , которая находилась в начальный момент времени в начале координат, движется вправо по оси  $Ox$  с постоянной скоростью  $v$ . Вместе с ней движется открытая область  $D$ , имеющая форму первого квадранта круга радиуса  $R$  (рис. 1).

Точка  $P$ , находившаяся в начальный момент времени на оси  $Ox$  правее  $E$  на расстоянии  $a$  от границы  $D$ , движется в верхней полуплоскости со скоростью  $v$ . Ее траектория может состоять из сопряженных дуг окружностей радиуса  $R$  и сопряженных с ними отрезков прямых. Целью  $P$  является уход от  $E$  без пересечения  $D$  и занятие на  $Ox$  положения, левее  $E$ , на расстоянии  $\delta$ . В начальной

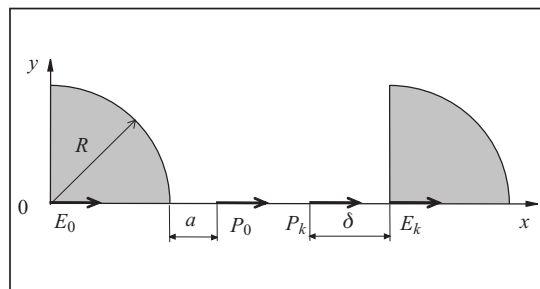


Рис. 1

точке  $P_0$  и в конечной точке  $P_k$  вектор скорости направлен вдоль оси  $Ox$ . Таким образом, точка  $P$  из преследуемой становится преследующей. Нужно найти такую траекторию  $P$ , которая обеспечивала бы достижение цели за минимальное время.

© А.П. Криковлюк, 2013

В работе [7] исследованы траектории для  $a \geq R(\pi/3 - 1)$  и показано, что при  $a = R(\pi/3 - 1)$   $P$  уходит от преследования по дуге, соприкасаясь с  $D$  в точке  $C(R(2\pi + 3\sqrt{3})/6, R/2)$ .

Рассмотрим уход  $P$  от  $D$  при  $0 < a < R(\pi/3 - 1)$ . В этом случае  $P$  не может перемещаться только по дуге, так как это приведет к пересечению  $D$  — уменьшению абсциссы начала траектории  $P$  на  $\Delta x = R(\pi/3 - 1) - a$ , что равносильно плоскопараллельному перемещению траектории на  $\Delta x$  левее точки соприкосновения с  $D$ . Естественным реагированием на уменьшение  $a$  будет перемещение  $P$  сначала по дуге  $\alpha$ , а потом по отрезку  $l$  прямой  $AB$  (рис. 2). При этом  $\alpha$  должна быть не больше и не меньше некоторой величины, иначе  $P$  либо пересечет  $D$ , либо пройдет на удалении от нее и потеряет время. Определим, при каких соотношениях между параметрами  $a, \alpha, l$  точка  $P$  будет уходить от области  $D$ , соприкасаясь с ней в точке  $C$ .

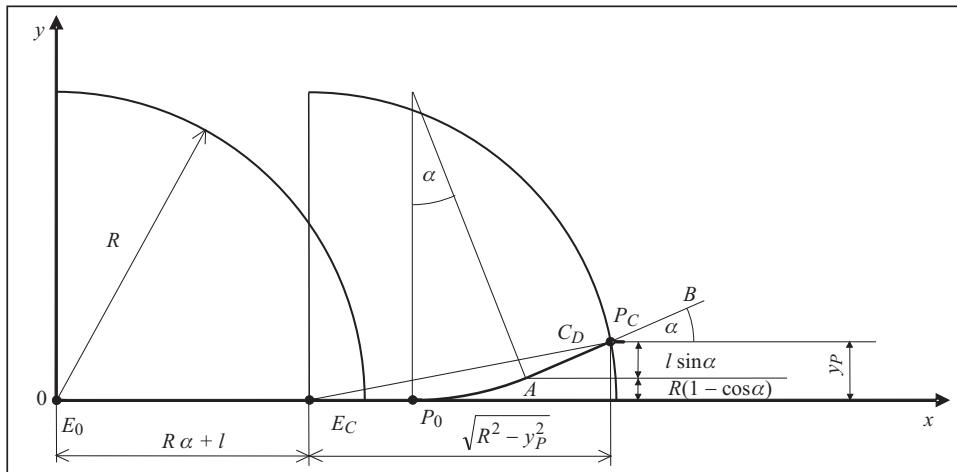


Рис. 2

Уравнение прямой  $AB$ , по которой перемещается  $P$ , представим в виде обратной функции

$$x_P = \frac{1}{\operatorname{tg} \alpha} y_P - \frac{R(1 - \cos \alpha)}{\operatorname{tg} \alpha} + (R + a + R \sin \alpha). \quad (1)$$

Когда ордината  $P$  находится в пределах  $0 \leq y_P \leq R$ , граница  $D$  содержит точку  $C_D$ , ордината которой равна ординате  $P$ . Эта точка преследует точку  $P$ , расположенную на ее пути, и только в этой точке при соответствующих условиях  $P$  может соприкоснуться с  $D$ . Геометрическое место таких точек образует линию ограничения, которую траектория  $P$  не должна пересекать. Так как  $v_E = v_P$ , то  $S_E = S_P$  и абсциссы точек  $C_D$  и  $P$  равны, т.е.

$$x_{C_D} = S_P + \sqrt{R^2 - y_P^2} = R\alpha + l + \sqrt{R^2 - y_P^2}. \quad (2)$$

Так как

$$l = \frac{y_P - R(1 - \cos \alpha)}{\sin \alpha}, \quad (3)$$

то

$$x_{C_D} = R\alpha + \frac{y_P - R(1 - \cos \alpha)}{\sin \alpha} + \sqrt{R^2 - y_P^2}. \quad (4)$$

Расстояние  $d$  между  $P$  и преследующей ее точкой  $C_D$  равно разнице абсцисс (1) и (4):

$$d = x_P - x_{C_D} = \frac{1}{\operatorname{tg} \alpha} y_P - \frac{R(1 - \cos \alpha)}{\operatorname{tg} \alpha} + (R + a + R \sin \alpha) - R\alpha - \frac{y_P - R(1 - \cos \alpha)}{\sin \alpha} - \sqrt{R^2 - y_P^2}. \quad (5)$$

Решая уравнение

$$d'_{y_P} = \frac{1}{\operatorname{tg} \alpha} - \frac{1}{\sin \alpha} + \frac{y_P}{\sqrt{R^2 - y_P^2}} = 0 \quad (6)$$

и учитывая, что  $d''_{y_P y_P} = \frac{2 - y_P^2}{2(R^2 - y_P^2)^{3/2}} > 0$ , находим, что при

$$y_P = R \sin \frac{\alpha}{2} \quad (7)$$

$d = 0$ , т.е. траектория точки  $P$  касается линии ограничения (2).

Из (3) с учетом (7) следует

$$l = R \frac{1 - 2 \sin \frac{\alpha}{2}}{2 \cos \frac{\alpha}{2}}. \quad (8)$$

Подставляя (7) в (5), находим

$$R + a = R\alpha + 2l, \quad (9)$$

что позволяет по заданному  $a$  вычислять  $\alpha$  и  $l$ . Из (9) и (8) следует, что при уменьшении  $a$  до нуля  $\alpha$  также уменьшается до нуля, а  $l$  стремится к  $R/2$ , при увеличении  $a$  до  $R(\pi/3 - 1)$   $\alpha$  увеличивается до  $\pi/3$ , а  $l$  уменьшается до нуля.

Соотношение (7) отражает тот факт, что вне зависимости от предыдущего пути перемещающаяся под углом  $\alpha$  к  $Ox$  точка  $P$  в момент соприкосновения с  $D$  имеет ординату  $y_P = R \sin \frac{\alpha}{2}$ , т.е. видна из точки  $E$  под углом  $\alpha/2$ . Это позволяет определить элементы траектории  $S_{\alpha_{1-2}}$  при перемещении  $P$  из любой точки границы  $D$ , характеризуемой ординатой  $y_1 = R \sin \frac{\alpha_1}{2}$ , в любую точку границы  $D$ ,

имеющую ординату  $y_2 = R \sin \frac{\alpha_2}{2}$ . При этом  $\alpha_1 < \alpha_2 \leq \alpha_k$ , где критический угол  $\alpha_k = 2 \arcsin 0,25$ , о чем пойдет речь дальше. Траектория перемещения состоит из двух отрезков касательных  $l_1$  и  $l_2$ , сопряженных дугой  $\Delta \alpha = \alpha_2 - \alpha_1$  (рис. 3). Значения  $l_1$  и  $l_2$  получаем решением системы двух уравнений, отражающих равенство координат точек  $P_2$  и  $C_2$ :

$$\begin{cases} x_{P_2} = x_{C_2}, \\ y_{P_2} = y_{C_2}, \end{cases}$$

т.е.

$$\begin{cases} R \cos \frac{\alpha_1}{2} + l_1 \cos \alpha_1 + R(\sin \alpha_2 - \sin \alpha_1) + l_2 \cos \alpha_2 = \\ = R \cos \frac{\alpha_2}{2} + l_1 + R(\alpha_2 - \alpha_1) + l_2, \\ R \sin \frac{\alpha_1}{2} + l_1 \sin \alpha_1 + R(\cos \alpha_1 - \cos \alpha_2) + l_2 \sin \alpha_2 = R \sin \frac{\alpha_2}{2}. \end{cases}$$

Отсюда

$$l_1 = R \frac{B \sin \frac{\alpha_2}{2} - A \cos \frac{\alpha_2}{2}}{2 \sin \frac{\alpha_1}{2} \sin \left( \frac{\alpha_2}{2} - \frac{\alpha_1}{2} \right)}, \quad l_2 = R \frac{A \cos \frac{\alpha_1}{2} - B \sin \frac{\alpha_1}{2}}{2 \sin \frac{\alpha_2}{2} \sin \left( \frac{\alpha_2}{2} - \frac{\alpha_1}{2} \right)}, \quad (10)$$

где

$$\begin{aligned} A &= \left( \cos \frac{\alpha_1}{2} - \cos \frac{\alpha_2}{2} \right) + (\sin \alpha_2 - \sin \alpha_1) - (\alpha_2 - \alpha_1), \\ B &= \left( \sin \frac{\alpha_2}{2} - \sin \frac{\alpha_1}{2} \right) - (\cos \alpha_1 - \cos \alpha_2). \end{aligned}$$



$$dx_\alpha = dx_y \cdot dy_\alpha = R \cdot \frac{\cos \alpha}{4 \sin \frac{\alpha}{2}} d\alpha, \quad (14)$$

поэтому

$$dS_\alpha = \frac{R}{4 \sin \frac{\alpha}{2}} d\alpha, \quad (15)$$

$$\rho = \frac{R}{4 \sin \frac{\alpha}{2}}. \quad (16)$$

Из  $\rho = R$  находим  $\sin \frac{\alpha_k}{2} = 0,25$ , т.е.  $\alpha_k = 2 \arcsin 0,25 \approx 0,505$  рад.  $\approx 28^\circ 57' 18''$ .

Из (16) следует, что с увеличением  $\alpha$  радиус кривизны  $\rho$  уменьшается, и при  $\alpha \geq \alpha_k$  имеем  $\rho \leq R$ , что позволяет  $P$  переходить на траекторию, состоящую только из дуги окружности.

Длину  $S_{\alpha_{1-2}}$  траектории  $P$  во время ее движения по линии ограничения находим из (15):

$$S_{\alpha_{1-2}} = \int_{\alpha_1}^{\alpha_2} \frac{R}{4 \sin \frac{\alpha}{2}} d\alpha = \frac{R}{2} \ln \frac{\pi \frac{\alpha_2}{4}}{\operatorname{tg} \frac{\alpha_1}{4}}. \quad (17)$$

Этот же результат следует из (13) на основании присущего характеристическому треугольнику соотношения  $dS = \frac{dy}{\sin \alpha}$ .

Абсциссу  $P$  в момент ее движения по линии ограничения под углом  $\alpha_2$  к оси  $Ox$  находим из (14):

$$x_{P_{\alpha_2}} = \int R \frac{\cos \alpha}{4 \sin \frac{\alpha}{2}} d\alpha = R \left( \alpha_1 + \cos \frac{\alpha_2}{2} + \frac{1}{2} \ln \frac{\operatorname{tg} (\alpha_2 / 4)}{\operatorname{tg} (\alpha_1 / 4)} \right) + l.$$

Приведенные выше соотношения обусловлены не только свойствами линии ограничения, с которой совмещается траектория  $P$ , когда  $\Delta_i \alpha$  стремится к нулю, но и свойствами самой траектории. Используя соотношения (10) и преобразование

$$\lim_{\Delta_i \alpha \rightarrow 0} (l_i + \Delta_i \alpha + l_{i+1}) = \lim_{\Delta_i \alpha \rightarrow 0} \Delta_i S = \lim_{\Delta_i \alpha \rightarrow 0} \left( \Delta_i \alpha \cdot \frac{\Delta_i S}{\Delta_i \alpha} \right) = d\alpha \cdot S'_\alpha = dS_\alpha,$$

получаем  $dS_\alpha = R \cdot \frac{d\alpha}{4 \sin (\alpha / 2)}$ , что совпадает с (15).

Если бы речь шла о поиске траектории скорейшего ухода  $P$  от  $E$  — скорейшего выхода  $P$  из «опасной» полосы шириной  $R$ , то можно было бы ограничиться проведенным исследованием, и оптимальная в указанном смысле траектория была бы пределом кривой, составленной (с точностью до  $a$ ) из уменьшающихся отрезков прямой и дуг радиуса  $R$ .

Кривая  $S = \frac{R}{2} \ln \left( \left( \operatorname{tg} \frac{\alpha_2}{4} \right) / \left( \operatorname{tg} \frac{\alpha_1}{4} \right) \right)$  представляет собой эластику, рассмат-

риваемую в гидродинамике и механике [9]. По таким траекториям движутся частицы жидкости, огибая перемещающийся цилиндр; такую форму принимает абсолютно гибкий прут, подвергнутый продольному сжатию.

Такая траектория является самой короткой для задачи выхода объекта  $P$  из «опасной полосы» (см. зоны I–III на рис. 4). В подвижной системе координат (связанной с объектом  $E$ ) это имеет смысл «непосредственного» движения  $P$  по границе области  $D$ . Однако эта траектория включает в себя участок с непрерывно изменяющейся кривизной, что, строго говоря, выходит за пределы исходной постановки задачи (см. рис. 4).

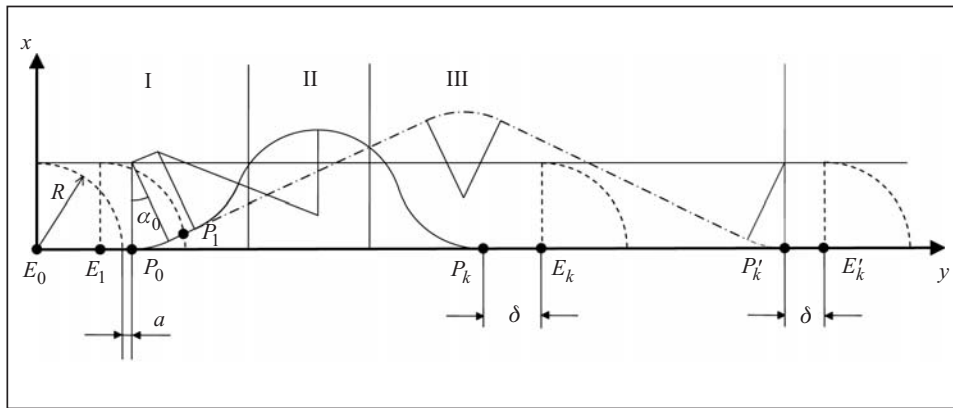


Рис. 4

На практике в первой фазе движения объекта  $P$  (см. рис. 4) его траектория описывается некоторой совокупностью конечного числа участков, состоящих из дуг и отрезков прямых, и требуемая точность решения задачи рассчитывается конкретно. Но поскольку в статье речь идет о задаче ухода  $P$  от  $E$  с последующим переходом к преследованию последнего, здесь подбираем другие оптимальные траектории.

Установление соответствующего поведения  $P$  определяется задаваемыми требованиями к значениям «тактически-целевой» пары параметров  $S$  и  $\delta$ , которые не находятся в отношении монотонности, т.е. тенденция к уменьшению длины  $S$  траектории  $P$  «вокруг»  $E$  сопровождается тенденцией увеличения заключительного расстояния  $\delta$  между  $P$  и  $E$ , и наоборот. И в этой связи следует отметить то качественное свойство, что построение траекторий меньшей длины  $S$  тяготеет к большему удельному весу составляющих дуг, а построение траекторий, характеризующихся меньшим значением  $\delta$ , тяготеет к большему удельному весу составляющих отрезков прямых.

Один из возможных примеров качественного соотношения между обоими соответствующими типами траекторий  $P$  показан на рис. 4.

Таким образом, эти обстоятельства, по меньшей мере, затрудняют выработку единого правила формирования искомой траектории с достаточной точностью и вынуждают для каждой конкретной ситуации, для каждой позиции пользователей производить отдельное графоаналитическое построение искомой траектории  $P$ , что, вообще говоря, превращается в процесс решения самостоятельной задачи.

Подобный уровень модельных исследований при разработке алгоритмов управления движением (поведением) приближает тактические возможности проектируемых беспилотных летательных аппаратов — авиационных средств спецробототехники — к тактическим возможностям существующих пилотируемых самолетов, что является актуальной задачей современного авиастроения.

#### СПИСОК ЛИТЕРАТУРЫ

1. Айзекс Р. Дифференциальные игры. — М.: Мир, 1967. — 479 с.
2. Понтрягин Л. С. Принцип максимума в оптимальном управлении. — М.: Наука, 1989. — 60 с.
3. Красовский Н. Н. Управление динамической системой. — М.: Наука, 1985. — 520 с.
4. Пшеничный Б. Н. Выпуклый анализ и экстремальные задачи. — М.: Наука, 1980. — 319 с.
5. Чикрий А. А. Конфликтно управляемые процессы. — К.: Наук. думка, 1992. — 384 с.
6. Шибяев С. В. О некоторых содержательных сценариях поведения игроков в процессах вычисления равновесия в играх при наличии неполной информации // Кибернетика и системный анализ. — 1996. — № 1. — С. 152–170.
7. Об одной задаче преследования-убегания / С.Ф. Кривой, А.П. Криковлюк, И.Г. Мороз-Подворчан и др. // Там же. — 1992. — № 3. — С. 138–143.
8. Криковлюк А. П., Мороз-Подворчан И. Г. Об определяющей особенности проектирования одного класса специализированных систем управления // Управляющие системы и машины. — 2011. — № 1. — С. 63–69.
9. Жермен П. Курс механики сплошных сред. — М.: Высш. шк., 1983. — 399 с.

Поступила 19.02.2012